Digitaltechnik

1 Moore'sches Gesetz

- alle 18-24 Monate verdoppelt sich die Anzahl der Transistoren auf gleicher Fläche
- Exponentielles Wachstum der Transistorzahl, exponentieller Rückgange des Preises pro Transistor
- Herstellungskosten (Fixkosten, Variable Kosten, Technologiefaktor), Entwicklerproduktivität, Verlustleistungsdichte

2 Einheiten

Potenz	Vorsatz
10^{12}	T
10^{9}	G
10^{6}	M
10^{3}	k
10^{2}	h
10^{1}	da

Potenz	Vorsatz
10^{-1}	d
10^{-2}	c
10^{-3}	m
10^{-6}	μ
10^{-9}	n
10^{-12}	p
10^{-15}	f

Hz	s^{-1}
N	$kgms^{-2}$
J	$Nm = VAs$
W	$VA = Js^{-1}$
C	As
V	JC^{-1}
F	CV^{-1}
Ω	VA^{-1}
H	VsA^{-1}

$Bit \xrightarrow{\cdot 8} Byte \xrightarrow{\cdot 1024} kByte \xrightarrow{\cdot 1024} MByte$

3 Polyadische Zahlensysteme

$Z = \sum_{i=-n}^{p-1} r^i \cdot d_i = d_{p-1}...d_1 d_0 . d_{-1}...d_n$

Z:Zahl, r:Basis, d_i:Ziffer, p:#Ziffern vorne n:#Nachkommastellen

Binäres Zahlensystem:

$d_{i2} \in 0, 1 \qquad B = \sum_{i=-n}^{p-1} 2^i \cdot d_i \quad d_{-n} : LSB; \quad d_{p-1} : MSB$

Octalsystem:	Hexadezimalsystem:
$d_{i8} \in 0, 1, 2, 3, 4, 5, 6, 7$	$d_{i16} \in 0, 1, 2, 3, 4, 5, 6, 7, 8, 9, A, B, C, D, E, F$

Benötigte Bits: $N : n$ Bit. $M : m$ Bit
$N + M : \max\{n, m\} + 1$ Bit
$N \cdot M : n + m$ Bit

3.1 Umrechnung

	$Z \geq 1$	$Z < 1$
$r \rightarrow 10$	$Z_{10} = \sum r^i \cdot d_i$ $101_2 \rightarrow 1 \cdot 4 + 0 \cdot 2 + 1 \cdot 1$	$Z_{10} = \sum r^{-i} \cdot d_{-i}$ $0.11_2 \rightarrow 1 \cdot 0.5 + 1 \cdot 0.25$
$10 \rightarrow r$	$d_i = Z_{10} \% r^i$ ($d_i = Z_{10} \bmod r^i$) $58/8 = 7$ Rest $2 (LSB)$ $7/8 = 0$ Rest $7 (MSB)$ (Ende wenn 0 erreicht) Auf Ende achten $1r3\%5 \rightarrow 0r1$	 $0.4 \cdot 2 = 0.8$ Übertrag $0 (MSB)$ $0.8 \cdot 2 = 1.6$ Übertrag 1 (Wiederholen bis 1 oder Periodizität)

3.2 Zweierkomplement Wertebereich: $-2^{n-1} \leq Z \leq 2^{n-1} - 1$

$Z \rightarrow -Z$ (Umkehrung gleich)	Bsp: Wandle 2 in -2 um
1. Invertieren aller Bits	$0010 \Rightarrow 1101$
2. Addition von 1	$1101 + 1 = 1110$
3. Ignoriere Überträge beim MSB	$\Rightarrow \ -2_{10} = 1110_2$

3.3 Gleitkommadarstellung nach IEEE 754

Bitverteilung(single/double):

$s(1)$	$e(8/11)$	$f(23/52)$

s: Vorzeichen, e: Exponent, f: Mantisse (**Nachkommastellen!** $2^{-1}2^{-2}...$)

Spezialwerte: $Z = 0 \Leftrightarrow e = 0 \qquad Z = +(-)\infty \Leftrightarrow e = 255, s = 0(1)$

IEEE $\rightarrow$ **Wert** Z	Bsp: $s = 1$, $e = 126$, $f = 01_2$
$Z = (-1)^s \cdot (1 + 0.f) \cdot 2^{e-127}$	$Z = -1 \cdot 2^{-1} \cdot 1.01_2 = -0.101_2 = -0.625$
Wert $Z \rightarrow$ **IEEE** (Binärdarstellung)	Bsp: $Z = 11.25$
$s = 0$(positiv), $s = 1$(negativ)	$s = 0$
$Z \rightarrow Z_2$ (beim Komma teilen)	$Z = 1011.01_2$
Z_2 n-mal shiften $\rightarrow 1.xxx...$	$Z = 1.01101_2 \cdot 2^3$
Exponent $e = n + 127 \rightarrow e_2$	$e = 3 + 127 = 130 = 10000010_2$
Mantisse $f_2 = xxx...$	$f = 01101000..._2$
Wert $Z \rightarrow$ **IEEE** (Formel)	Bsp: $Z = 11.25$
$s = 0$(positiv), $s = 1$(negativ)	$s = 0$
$E = \lfloor \log_2 \lvert Z \rvert \rfloor$	$E = \lfloor \log_2 \lvert 11.25 \rvert \rfloor = \lfloor 3, 49... \rfloor = 3$
$e = E + 127 \rightarrow e_2$	$e = 3 + 127 = 130 = 10000010_2$
$f = \left(\frac{\lvert Z \rvert}{2^E} - 1\right) \cdot 2^{23} \rightarrow f_2$	$f = \left(\frac{\lvert 11.25 \rvert}{2^3} - 1\right) \cdot 2^{23} = 3407872 = 01101000..._2$

4 Zeichenkodierung

4.1 ASCII

American Standard Code for Information Exchange
Fixe Codewortlänge (7 Bit, 128 Zeichen)
$0x00 - 0x7F$

4.2 UTF-8

Universal Character Set Transformation Format
Variable Codewortlänge (1-4 Byte) $\rightarrow$ Effizient

Schema

- MSB = 0 $\rightarrow$ 8 Bit (restliche Bit nach ASCII)
- MSB = 1 $\rightarrow$ 16, 24 oder 32 Bit
  - Byte 1: Die ersten 3, 4, 5 Bit geben die Länge des Codewortes an (110, 1110, 11110)
  - Byte 2-4: Beginnen mit Bitfolge 10

4.3 Zahlensysteme

Base 10	Base 2	Base 8	Base 16
00	0000	**0o**00	**0x**0
01	0001	**0o**01	**0x**1
02	0010	**0o**02	**0x**2
03	0011	**0o**03	**0x**3
04	0100	**0o**04	**0x**4
05	0101	**0o**05	**0x**5
06	0110	**0o**06	**0x**6
07	0111	**0o**07	**0x**7
08	1000	**0o**10	**0x**8
09	1001	**0o**11	**0x**9
10	1010	**0o**12	**0x**A
11	1011	**0o**13	**0x**B
12	1100	**0o**14	**0x**C
13	1101	**0o**15	**0x**D
14	1110	**0o**16	**0x**E
15	1111	**0o**17	**0x**F

5 Boolsche Algebra

5.1 Boolsche Operatoren (Wahrheitstabelle WT)

x	y	 AND $x \cdot y$	 OR $x + y$	 XOR $x \oplus y$	 NAND $\overline{x \cdot y}$	NOR $\overline{x + y}$	EQV $\overline{x \oplus y}$
0	0	0	0	0	1	1	1
0	1	0	1	1	1	0	0
1	0	0	1	1	1	0	0
1	1	1	1	0	0	0	1

Konfiguration: $f = c_1 + c_2 + c_3 \Rightarrow cov(f) = \{c_1, c_2, c_3\} \quad x \oplus y \equiv x\overline{y} + \overline{x}y$

5.2 Gesetze der boolschen Algebra

	Boolsche Algebra $(0, 1; \cdot, +, \overline{x})$	Mengenalgebra $(P(G); \cap, \cup, \overline{A}; G, \emptyset)$
Kommutativ	$x \cdot y = y \cdot x$	$A \cap B = B \cap A$
	$x + y = y + x$	$A \cup B = B \cup A$
Assoziativ	$x \cdot (y \cdot z) = (x \cdot y) \cdot z$	$(A \cap B) \cap C = A \cap (B \cap C)$
	$x + (y + z) = (x + y) + z$	$(A \cup B) \cup C = A \cap (B \cup C)$
Distributiv	$x \cdot (y + z) = x \cdot y + x \cdot z$	$A \cap (B \cup C) = (A \cap B) \cup (A \cap C)$
	$x + (y \cdot z) = (x + y) \cdot (x + z)$	$A \cup (B \cap C) = (A \cup B) \cap (A \cup C)$
Indempotenz	$x \cdot x = x$	$A \cap A = A$
	$x + x = x$	$A \cup A = A$
Absorption	$x \cdot (x + y) = x$	$A \cap (A \cup B) = A$
	$x + (x \cdot y) = x$	$A \cup (A \cap B) = A$
Neutral	$x \cdot 1 = x$	$A \cap G = A$
	$x + 0 = x$	$A \cup \emptyset = A$
Dominant	$x \cdot 0 = 0$	$A \cap \emptyset = \emptyset$
	$x + 1 = 1$	$A \cup G = G$
Komplement	$x \cdot \overline{x} = 0$	$A \cap \overline{A} = \emptyset$
	$x + \overline{x} = 1$	$A \cup \overline{A} = G$
	$\overline{\overline{x}} = x$	$\overline{\overline{A}} = A$
De Morgan	$\overline{x \cdot y} = \overline{x} + \overline{y}$	$\overline{A \cap B} = \overline{A} \cup \overline{B}$
	$\overline{x + y} = \overline{x} \cdot \overline{y}$	$\overline{A \cup B} = \overline{A} \cap \overline{B}$

5.3 Boolesche Funktionen

$f : \{0, 1\}^n \rightarrow \{0, 1\} \qquad f(\underline{\boldsymbol{x}}) = f(x_1, x_2, \ldots, x_n)$

Einsmenge F von f: $F = \{\underline{\boldsymbol{x}} \in \{0, 1\}^n | f(\underline{\boldsymbol{x}}) = 1\}$
Nullmenge $\overline{F}$ von f: $\overline{F} = \{\underline{\boldsymbol{x}} \in \{0, 1\}^n | f(\underline{\boldsymbol{x}}) = 0\}$

Kofaktor bezüglich

- $x_i : f_{x_i} = f|_{x_i=1} = f(x_1, \ldots, 1, \ldots, x_n)$
- $\overline{x}_i : f_{\overline{x}_i} = f|_{x_i=0} = f(x_1, \ldots, 0, \ldots, x_n)$

Eigenschaften von $f(\underline{\boldsymbol{x}})$

- tautologisch $\Leftrightarrow f(\underline{\boldsymbol{x}}) = 1 \qquad \forall \underline{\boldsymbol{x}} \in \{0, 1\}^n$
- kontradiktorisch $\Leftrightarrow f(\underline{\boldsymbol{x}}) = 0 \qquad \forall \underline{\boldsymbol{x}} \in \{0, 1\}^n$
- unabhängig von $x_i \Leftrightarrow f_{x_i} = f_{\overline{x}_i}$
- abhängig von $x_i \Leftrightarrow f_{x_i} \neq f_{\overline{x}_i}$

5.4 Multiplexer

$f = x \cdot a + \overline{x} \cdot b$ (2 Eingänge a, b und 1 Steuereingang x)
$f = \overline{x}_1\overline{x}_2 a + \overline{x}_1 x_2 b + x_1\overline{x}_2 c + x_1 x_2 d$ (Eingänge: a, b, c, d Steuerung: x_1, x_2)

5.5 Wichtige Begriffe

Wichtige Begriffe:	Definition	Bemerkung
Signalvariable	x	$\hat{x} \in \{0,1\}$
Literal	$l_i = x_i$ oder $\overline{x_i}$	$i \in I_0 = \{1,\ldots,n\}$
Minterme,0-Kuben	M0C $\ni m_j = \prod_{i \in I_0} l_i$	$\lvert$M0C$\rvert = 2^n$
d-Kuben	MC $\ni c_j = \prod_{i \in I_j \subseteq I_0} l_i$	$\lvert$MC$\rvert = 3^n$
Distanz	$\delta(c_i,c_j) = \lvert\{l \mid l \in c_i \wedge \overline{l} \in c_j\}\rvert$	$\delta_{ij} = \delta(c_i,c_j)$
Implikanten	$MI = \{c \in MC \mid c \subseteq f\}$	
Primimplikanten	$MPI = \{p \in MI \mid p \not\subset c\ \forall c \in MI\}$	$MPI \subseteq MI \subseteq MC$

DNF (DNF)	eine Summe von Produkttermen	Terme sind ODER-verknüpft
KNF (KNF)	ein Produkt von Summentermen	Terme sind UND-verknüpft
KDNF (KDNF)	Summe aller Minterme	WT: 1-Zeilen sind Minterme
KKNF (KKNF)	Menge aller Maxterme	WT: 0-Zeilen negiert sind Maxterme
VollSOP (nur 1)	Menge aller Primimplikanten	Bestimmung siehe Quine Methode
		oder Schichtenalgorithmus
MinSOP (min. 1)	Minimale Summe v. Primimplikanten	durch Überdeckungstabelle

FPGA: Field Programmable Gate Array
LUT: Look Up Table

6 Beschreibungsformen

6.1 Disjunktive Normalform/Sum of products (DNF/DNF)

Eins-Zeilen als **Implikanten** (UND) schreiben und alle Implikanten mit **ODER** verknüpfen:
$Z = \overline{A} \cdot \overline{B} + \overline{C} \cdot D$

6.2 Konjunktive Normalform/Product of sums (KNF/KNF)

Null-Zeilen negiert als Implikat (ODER) schreiben und alle Implikaten **UND** verknüpfen:
$Z = (\overline{A} + \overline{C}) \cdot (\overline{A} + \overline{D}) \cdot (\overline{B} + \overline{C}) \cdot (\overline{B} + D)$

6.3 Umwandlung in jeweils andere Form

1. Doppeltes Negieren der Funktion: $Z = \overline{\overline{\overline{A} \cdot \overline{B} + \overline{C} \cdot D}}$
2. Umformung "untere" Negation (DeMorgan) : $Z = \overline{\overline{\overline{A} \cdot \overline{B}} \cdot \overline{\overline{C} \cdot D}} = \overline{(A+B) \cdot (C+\overline{D})}$
3. Ausmultiplizieren: $Z = (A+B) \cdot (C+\overline{D}) = A \cdot C + A \cdot \overline{D} + B \cdot C + B \cdot \overline{D}$
4. Umformung "obere" Negation (DeMorgan) :
$Z = \overline{AC} \cdot \overline{A\overline{D}} \cdot \overline{BC} \cdot \overline{B\overline{D}} = (\overline{A} + \overline{C}) \cdot (\overline{A} + D) \cdot (\overline{B} + \overline{C}) \cdot (\overline{B} + D)$

Analog von KNF (KNF) nach DNF (DNF).

6.4 Shannon Entwicklung

$f = x_i \cdot f_{x_i} + \overline{x}_i \cdot f_{\overline{x}_i} = (x_i + f_{\overline{x}_i}) \cdot (\overline{x}_i + f_{x_i}) = (f_{x_i} \oplus f_{\overline{x}_i}) \cdot x_i \oplus f_{\overline{x}_i}$
$\overline{f} = x_i \cdot \overline{f}_{x_i} + \overline{x}_i \cdot \overline{f}_{\overline{x}_i}$

7 Logikminimierung

7.1 Nomenklatur

- m_i Minterm: UND-Term in dem alle Variablen vorkommen (aus KDNF)
- M_i Maxterm: ODER-Term in dem alle Variablen vorkommen (aus KKNF)
- c_i Implikant: UND-Term in dem freie Variablen vorkommen können
- C_i Implikat: ODER-Term in dem freie Variablen vorkommen können
- p_i Primimplikant: UND-Term mit maximal freien Variablen
- P_i Primimplikat: ODER-Term mit maximal freien Variablen

7.2 Karnaugh-Diagramm

Zyklische Gray-Codierung: **2-dim** 00 01 11 10 | **3-dim** 000 001 011 010 110 111 101 100

$z \diagdown xy$	00	01	11	10
0	1	0	0	0
1	X	1	1	0

Gleiche Zellen zusammenfassen: z.B. $\overline{xy} + y \cdot z$
Don't Care Werte ausnutzen!
Achtung: Auf eventuelle Unterdefiniertheit überprüfen (Redundante Zeilen) (Kreiert Don't Cares)
Immer vollständig mit Nullen und Einsen ausfüllen

7.3 Quine Methode

geg.: DNF/DNF oder Wertetabelle von $f(x)$
ges.: alle Primimplikanten p_i (VollSOP)

Spezielles Resoltutionsgesetz: $x \cdot a + \overline{x} \cdot a = a$
Absorptionsgesetz: $a + a \cdot b = a$

1. KDNF/KDNF bestimmen (z.B. $f(x,y,z) = xy = xyz + xy\overline{z}$)
2. Alle Minterme in Tabelle eintragen (Index von m ist (binär)Wert des Minterms)
3. 1-Kubus: Minterme die sich um eine Negation unterscheiden, zu einem Term verschmolzen (Resolutionsgesetz)
4. Der 1-Kubus muss zusammenhängend sein! (d.h. alle 1-Kubus Minterme müssen zusammenhängen)
5. Wenn möglich 2-Kubus bilden.
6. Wenn keine Kubenbildung mehr möglich → Primimplikanten

Beispiel (Quine Methode):

	0-Kubus	A	1-Kubus	R	A	2-Kubus	A
m_1	$\overline{x}_1\overline{x}_2x_3$	✓	$\overline{x}_2x_3$	$m_1\&m_5$	p_1		
m_4	$x_1\overline{x}_2\overline{x}_3$	✓	$x_1\overline{x}_2$	$m_4\&m_5$	✓	x_1	p_2
m_5	$x_1\overline{x}_2x_3$	✓	$x_1\overline{x}_3$	$m_4\&m_6$	✓		
m_6	$x_1x_2\overline{x}_3$	✓	x_1x_3	$m_5\&m_7$	✓		
m_7	$x_1x_2x_3$	✓	x_1x_2	$m_6\&m_7$	✓		

$\Rightarrow f(x_1,x_2,x_3) = p_1 + p_2 = \overline{x}_2x_3 + x_1$

7.4 Resolventenmethode

Ziel: alle Primimplikanten

Wende folgende Gesetze an:
Absorptionsgesetz: $a + ab = a$
allgemeines Resolutionsgesetz: $x \cdot a + \overline{x} \cdot b = x \cdot a + \overline{x} \cdot b + ab$

Anwendung mit Schichtenalgorithmus

1. schreibe die Funktion f in die 0. Schicht
2. bilde **alle möglichen** Resolventen aus der 0. Schicht und schreibe sie in die nächste Schicht als ODER Verknüpfungen (Resolventen zu f "hinzufügen")
3. überprüfe ob Resolventen aus der 1. Schicht Kuben aus Schicht 0 überdecken(Absorption) und streiche diese Kuben aus Schicht 0
4. Schicht i besteht aus den möglichen Resolventen von Schicht 0 bis $(i-1)$. Abgestrichene Kuben aus vorherigen Schichten brauchen **nicht** mehr beachtet werden.
5. Sobald in der i-ten Schicht +1 steht oder keine weiteren Resolventen gebildet werden können, ist man fertig. ⇒ alle nicht ausgestrichenen Terme bilden die VollSOP

$f(x_1,\ldots,x_n)$	Schicht
$x \cdot w + \overline{x} \cdot w + x \cdot y \cdot w \cdot \overline{z} + \overline{x} \cdot y \cdot w \cdot \overline{z} + \overline{y} \cdot w \cdot \overline{z}$	0
$+w + y \cdot w \cdot \overline{z}$	1
$+w \cdot \overline{z}$	2
$+w$	3

7.5 Überlagerung Bestimmung der MinSOP

Geg: KDNF/KDNF ($\sum m_i$) und VollSOP ($\sum p_i$) Ges: MinSOP (Minimalform)

Überdeckung: $C = (m_0 \subseteq p_1) \cdot (m_2 \subseteq p_1 + m_2 \subseteq p_2) \stackrel{!}{=} 1$
$C = \tau_1 \cdot (\tau_1 + \tau_2) = \tau_1 + \tau_1\tau_2 = \tau_1$

Alternativ: Mit Überdeckungstabelle bestimmen. Bsp:

	Minterme				
Primterme	m_1	m_2	...	m_N	$L(p_i)$
p_1	✓				$L(p_1)$
p_2	✓			✓	$L(p_2)$
⋮					⋮
p_K		✓			$L(p_K)$

Algorithmus:

1. Suche Spalten mit nur einem Minterm.
2. Streiche andere Spalten des zugehörigen Primterms.
3. Streiche Primterme, dessen Minterme alle gestrichen sind.

K: Anzahl der Primterme
N: Anzahl der Minterme
$L(p_i)$: Kosten/Länge der Primimplikanten
$L(z)$: Länge des Terms z = Summe der Literale in Teiltermen + Anzahl der Teilterme

8 Halbleiter

	Isolator	Metall	undotiert	N-Typ	P-Typ
Ladungsträger	Keine	e^-	e^-/e^+	e^-	e^+
Leitfähigkeit	Keine	Sehr hoch	$\propto T$	Hoch	Mittel

9 MOS-FET's

Metal **O**xide **S**emiconductor **F**ield **E**ffekt **T**ransistor

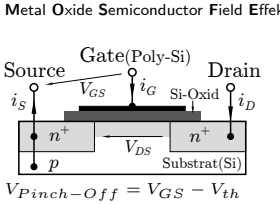

$V_{Pinch-Off} = V_{GS} - V_{th}$

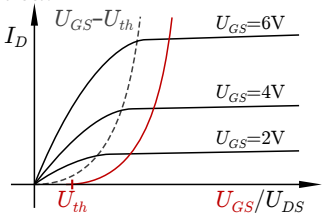

9.1 Bauteilparameter

Verstärkung: $\beta = K' \frac{W}{L}$ mit $K' = \frac{\mu \varepsilon_{ox} \varepsilon_0}{t_{0x}}$ $[\beta] = \frac{A}{V^2}$

Kanalweite	W
Kanallänge	L
Elektronenbeweglichkeit	μ $\mu_n \approx 250 \cdot 10^{-4} \frac{m^2}{Vs}$, $\mu_p \approx 100 \cdot 10^{-4} \frac{m^2}{Vs}$
rel. Dielektrizität des Gateoxyds	$\varepsilon_{ox} \approx 3,9$
Dielektrizitätskonstante	$\varepsilon_0 = 8.8541878 \cdot 10^{-12} \frac{As}{Vm}$
Gateoxyddicke	t_{ox}
Verstärkung	$\beta = \frac{\mu_n \varepsilon_{ox} \varepsilon_0}{t_{ox}} \cdot \frac{W}{L} = K' \frac{W}{L} = \frac{\mu_n C_G}{L^2}$
Kapazität	$C_G = \varepsilon_{ox} \varepsilon_0 \frac{WL}{t_{ox}}$
Verzögerungszeit	$t_{pHL} \propto \frac{C_L t_{ox} L_p}{W_p \mu_p \varepsilon_{ox} (V_{DD} - \lvert V_{th}\rvert)}$
Verzögerungszeit	t_{pHL} Propagation delay von 90% auf 10%
Verzögerungszeit	t_{pLH} Propagation delay von 10% auf 90%

- große Kanalweite ⇒ große Drain-Störme
  ⇒ schnelle Schaltgeschwindigkeit (da $i_d \propto \beta \propto \frac{W}{L}$)
  Aber: große Fläche.
- nMos schaltet schneller als pMOS

9.2 Drainstrom

nMos (p-dotiertes Substrat, n-dotierte Drain/Source), schlechter pull up (Pegeldegenerierung)

$$I_d = \begin{cases} 0, & \text{für } U_{gs} - U_{th} \leq 0 \quad \text{(Sperrber.)} \\ \beta[(u_{gs} - U_{th}) \cdot u_{ds} - \frac{1}{2}u_{ds}^2], & \text{für } 0 \leq U_{gs} - U_{th} \geq u_{ds} \quad \text{(linearer Ber.)} \\ \frac{1}{2}\beta \cdot (u_{gs} - U_{th})^2, & \text{für } 0 \leq U_{gs} - U_{th} \leq u_{ds} \quad \text{(Sättigungsber.)} \end{cases}$$

pMos (n-dotiertes Substrat, p-dotierte Drain/Source), schlechter pull down (Pegeldegenerierung)

$$I_d = \begin{cases} 0, & \text{für } U_{gs} - U_{th} \geq 0 \quad \text{(Sperrber.)} \\ -\beta[(u_{gs} - U_{th}) \cdot u_{ds} - \frac{1}{2}u_{ds}^2], & \text{für } 0 \geq U_{gs} - U_{th} \leq u_{ds} \quad \text{(linearer Ber.)} \\ -\frac{1}{2}\beta \cdot (u_{gs} - U_{th})^2, & \text{für } 0 \geq U_{gs} - U_{th} \geq u_{ds} \quad \text{(Sättigungsber.)} \end{cases}$$

9.3 pMos und nMos

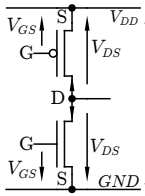

Transistor	Source liegt immer am	V_{GS}, V_{DS}, I_D	Substrat
pMos normally on	höheren Potential	$< \mathbf{0}$	$+(V_{DD})$
nMos normally off	niedrigeren Potential	$> \mathbf{0}$	$-(GND)$

Vorsicht: $U_{GS,p} = V_{DD} - U_a$

9.4 Kondensatoraufgaben

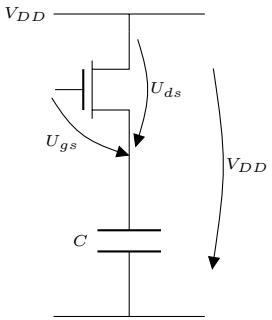

9.4.1 Laden

Kondensator C lädt, solange $I_D > 0$
$\rightarrow C$ lädt, solange $u_{gs} - U_{th} \geq u_{ds} \geq 0$

9.4.2 Entladen

Source und Drain werden vertauscht.
Auf Gatespannung achten.

9.5 Gatterschwellspannungsaufgaben

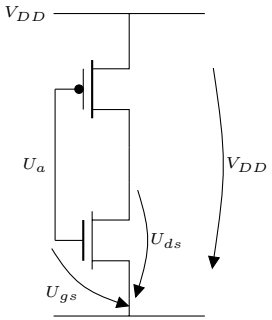

Gatterschwellspannung ist der Punkt, wo sich beide Transistoren in Sättigung befinden.
Dann Ströme mittels Knotengleichung ausrechnen.
$I_{sat,n} = -Isat, p$
Vorsicht: $U_{GS,p} = V_{DD} - U_a$

10 CMOS - Logik

Vorteil: (Fast) nur bei Schaltvorgängen Verlustleistung - wenig statische Verluste
Drei Grundgatter der CMOS-Technologie:

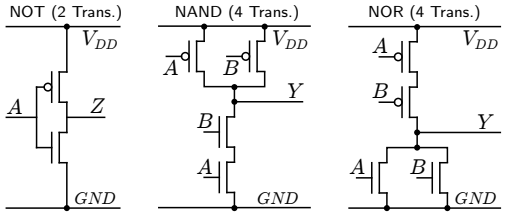

Falls GND und V_{DD} vertauscht würden, dann $NAND \rightarrow AND$ und $NOR \rightarrow OR$
Allerdings schlechte Pegelgenerierung.

10.1 Gatterdesign

Netzwerk	Pull-Down	Pull-Up
Transistoren	nMos	pMos
AND	Serienschaltung	Parallelschaltung
OR	Parallelschaltung	Serienschaltung

1. Möglichkeit: Direkt; ggf. Inverter vor die Eingänge und Ausgänge schalten.
2. Möglichkeit: Mit boolesche Algebra die Funktion nur mit NAND und NOR darstellen.

10.2 Umwandlung in Nand und Nor

Gatter	Funktion	NAND Form	NOR Form
NOT	$\overline{A}$	$\overline{A \cdot A}$	$\overline{A + A}$
AND	$A \cdot B$	$\overline{\overline{A \cdot B} \cdot \overline{A \cdot B}}$	$\overline{\overline{A + A} + \overline{B + B}}$
OR	$A + B$	$\overline{\overline{A \cdot A} \cdot \overline{B \cdot B}}$	$\overline{\overline{A + B} + \overline{A + B}}$
NAND	$\overline{A \cdot B}$	$\overline{A \cdot B}$	$\overline{\overline{A + A + \overline{B + B}} + \overline{A + A + \overline{B + B}}}$
NOR	$\overline{A + B}$	$\overline{\overline{A \cdot A \cdot \overline{B \cdot B}} \cdot \overline{A \cdot A \cdot \overline{B \cdot B}}}$	$\overline{A + B}$

10.3 CMOS Verlustleistung

Inverterschaltvorgang $V_A : 0 \rightarrow 1$:

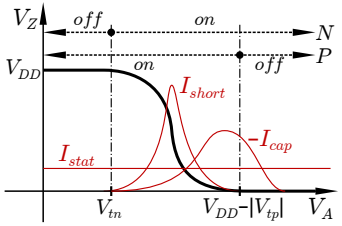

Achtung: Logikpegel sind über die Steigung der $|VTC| \leq 1$ des Inverters definiert.
Zusammensetzung I_{short}:

Transistor	$(0, V_{tn})$	$(V_{tn}, V_{DD}/2)$	Um $V_{DD}/2$	$(V_{DD}/2, V_{DD} - \lvert V_{tp}\rvert)$	$(V_{DD} - V_{tp}, V_{DD})$
n-MOS	Sperrt	Sättigung	Sättigung	Linear	Linear
p-MOS	Linear	Linear	Sättigung	Sättigung	Sperrt

Dynamische Verlustleistung $P_{dyn} = P_{cap} + P_{short}$
Kapazitive Verluste $P_{cap} = \alpha_{01} f C_L V_{DD}^2$
Kurzschlussstrom $P_{short} = \alpha_{01} f \beta_n \tau (V_{DD} - 2V_{tn})^3$
Schalthäufigkeit $\alpha_{0\rightarrow1} = \frac{\text{Schaltvorgänge(pos. Flanke)}}{\#\text{ Betrachtete Takte}}$ (max 0.5)
Schalthäufigkeit (periodisch) $\alpha = \frac{f_{\text{switch}}}{f_{\text{clk}}}$
Abhängig von den Signalflanken, mit Schaltfunktionen verknüpft
$\approx V_{DD}1/ \propto$ Schaltzeit: $\frac{V_{DD2}}{V_{DD1}} = \frac{t_{D1}}{t_{D2}}$ (bei Schaltnetzen t_{log})
Verzögerungszeit $t_{pd} \propto \frac{C_L t_{ox} L_p}{W_p \mu_p \varepsilon (V_{DD} - V_{th})}$
t_{pd} ist Zeit zwischen crossover 50% von Eingang zu crossover 50% am Ausgang.
Steigend mit: Kapazitiver Last, Oxiddicke, Kanallänge, Schwellspannung
Sinkend mit: Kanalweite, Ladungsträger Beweglichkeit, Oxyd Dielektrizität, Versorgungsspannung

Statische Verlustleistung P_{stat}: Sub-Schwellströme, Leckströme, Gate-Ströme Abhängigkeit:
$V_{DD} \uparrow$: $P_{stat} \uparrow$ $\quad$ $V_{th} \uparrow$: $P_{stat} \downarrow$ (aber nicht proportional)

11 Volladdierer (VA)/Ripple-C(u)arry-Adder

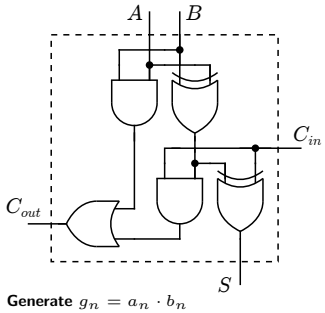

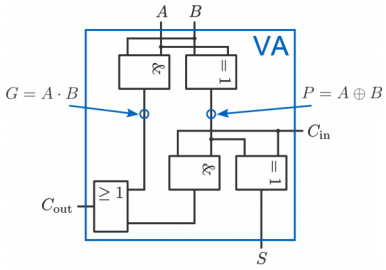

Generate $g_n = a_n \cdot b_n$
Propagate $p_n = a_n \oplus b_n$
Summenbit $S_n = c_n \oplus p_n = a_n \oplus b_n \oplus c_n$
$S_n = \underbrace{a_n \overline{b_n} \overline{c_n} + \overline{a_n} b_n \overline{c_n} + \overline{a_n} \overline{b_n} c_n}_{\text{genau ein Eingang high}} + \underbrace{a_n b_n c_n}_{\text{alle Eingänge high}}$ (Ungerade Anzahl von Eingängen 1)
Carry-out $c_{n+1} = c_n \cdot p_n + g_n$
$c_{n+1} = \underbrace{a_n b_n \overline{c_n} + a_n \overline{b_n} c_n + \overline{a_n} b_n c_n}_{\text{zwei Eingänge 1}} + \underbrace{a_n b_n c_n}_{\text{drei Eingänge 1}}$ (Mindesten zwei Eingänge 1)

Laufzeiten

$$t_{sn} = \begin{cases} t_{cn} + t_{xor} & t_{cn} > t_{xor} \\ 2t_{xor} & sonst \end{cases}$$

$$t_{cn+1} = \begin{cases} t_{and} + t_{or} & a_n = b_n = 1 \quad (g_n = 1) \\ t_{xor} + t_{and} + t_{or} & a_n = b_n = 0 \quad (p_n = 0, g_n = 0) \\ t_{cn} + t_{and} + t_{or} & a_n \neq b_n \quad (p_n = 1) \end{cases}$$

11.1 Multibit Addierer / Subtrahierer

Subtraktion entspricht Addition mit negiertem Subtrahenden
Zweierkomplement zur Bildung des negativen Subtrahenden
$\rightarrow$ Invertieren aller Bits des Subtrahenden und Addition von 1
$XOR : X \oplus 0 = X,\ X \oplus 1 = \overline{X}$

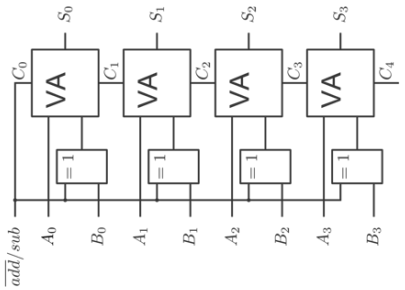

12 Sequentielle Logik

Logik mit Gedächtnis (Speicher).

12.1 Begriffe/Bedingungen

t_{Setup}	Stabilitätszeit vor der aktiven Taktflanke
t_{hold}	Stabilitätszeit nach der aktiven Taktflanke
t_{c2q}	Eingang wird spätestens nach t_{c2q} am Ausgang verfügbar
Min. Taktperiode	$t_{clk} \geq t_{1,c2q} + t_{logic,max} + t_{2,setup}$
Max. Taktfrequenz	$f_{max} = \lfloor \frac{1}{t_{clk}} \rfloor$ (Nicht aufrunden)
Holdzeitbedingung	$t_{hold} \leq t_{c2q} + t_{logic,min} \rightarrow$ Dummy Gatter einbauen
Durchsatz	$\frac{1\text{Sample}}{t_{clk,pipe}} = f$
Latenz	$t_{clk} \cdot \#$Pipelinestufen (das zwischen den FFs)

12.2 Pipelining

Nur bei synchronen(taktgesteuerten) Schaltungen möglich!

- Aufteilen langer kombinatorischer Pfade durch Einfügen zusätzlicher Registerstufen
  → Möglichst Halbierung des längsten Pfades
- Zeitverhalten beachten (evtl. Dummy-Gatter einfügen)
- Durchsatz erhöht sich entsprechend der Steigerung der Taktfrequenz
- Gesamtlatenz wird eher größer
- Taktfrequenz erhöht sich

12.3 Parallel Processing

Durchsatz $= \frac{\#\text{Modul}}{t_{clk,Modul}} = f$ Latenz $= t_{clk}$

- Paralleles, gleichzeitiges Verwenden mehrere identischer Schaltnetze
- Zusätzliche Kontrolllogik nötig (Multiplexer)
- Taktfrequenz und Latenz bleiben konstant
- Durchsatz steigt mit der Zahl der Verarbeitungseinheiten
  ABER: deutlich höherer Ressourcenverbrauch

13 Speicherelemente

Flüchtig Speicherinhalt gehen verloren, wenn Versorgungsspannung V_{DD} wegfällt - Bsp: *RAM
Nicht Flüchtig Speicherinhalt bleibt auch ohne V_{DD} erhalten - Bsp: Flash
Asynchron Daten werden sofort geschrieben/gelesen.
Synchron Daten werden erst mit $clk_{0\to1}$ geschrieben.
Dynamisch Ohne Refreshzyklen gehen auch bei angelegter V_{DD} Daten verloren - Bsp: DRAM
Statisch Behält den Zustand bei solange V_{DD} anliegt (keine Refreshzyklen nötig) - Bsp: SRAM
Bandbreite: Bitanzahl, die gleichzeitig gelesen/geschrieben werden kann.
Latenz: Zeitverzögerung zwischen Anforderung und Ausgabe von Daten.
Zykluszeit: Minimale Zeitdifferenz zweier Schreib/Lesezugriffe.

Speicherkapazität = Wortbreite $\cdot\ 2^{\text{Adressbreite}}$

13.1 Speicherzelle/Register

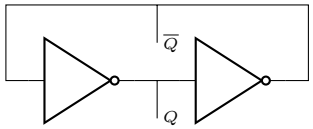

Ring aus zwei Invertern.
Logikpegel kann nur mit öffnen des Inverter-Rings gesetzt werden.

13.2 Latch

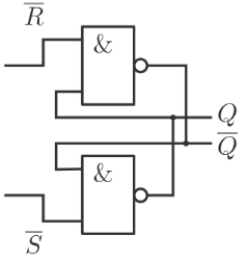

Set-Reset Latch:
Zwei gegenseitig rückgekoppelte NAND-Gatter.

Active Low Logik:
$\overline{S} = 0 \Rightarrow Q = 1$, $\overline{R} = 0 \Rightarrow Q = 0$

$\overline{R}$	$\overline{S}$	Q
1	1	Q
0	1	0
1	0	1
0	0	$Q = \overline{Q}$

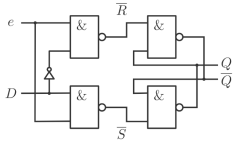

Enable-Latch: ändert Speicherzustand auf D nur wenn $e = 1$.
Level-Controlled ⇔ Latch.

e	Q
0	Q
1	D

13.3 Flip-Flop

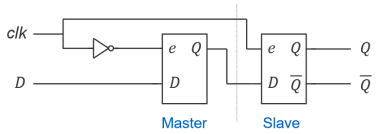

clk	Q	$\overline{Q}$
$0 \to 1$	D	$\overline{D}$
sonst	Q	$\overline{Q}$

Besteht aus zwei enable-Latches
Flip-Flop: Ändert Zustand bei steigender/(fallender) Taktflanke.

14 Automaten

DFA 6-Tupel $\{I, O, S, R, f, g\}$

I	Eingabealphabet
O	Ausgabealphabet
S	Menge von Zuständen
$R \subseteq S$	Menge der Anfangszustände
$f : S \times I \to S$	Übergangsrelation
g	Ausgaberelation

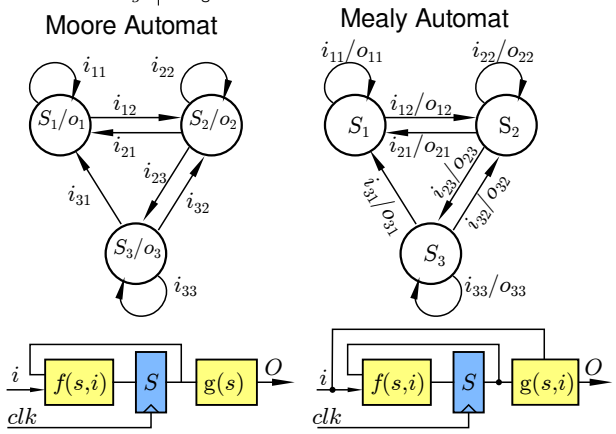

Zustandsnummerierung immer einfügen.

Moore	Mealy
Ouput hängt nur vom Zustand ab	Output hängt von Zustand und Eingabe ab
Kein direkter kombinatorischer Pfad Eingang⇒Ausgang	Generell weniger Zustände als Moore.
$s' = f(s,i)$, $o = g(s)$	$s' = f(s,i)$, $o = g(s,i)$
$g : S \to O$	$g : S \times I \to O$

14.1 Wahrheitstabelle einer FSM

i	$S = S_0 \ldots S_n$	o	$S' = S'_1 \ldots S'_n$
0	0…0	$o_{0,0\ldots0}$	$S'_{0,0\ldots0}$
⋮	⋮	⋮	⋮
1	1…1	$o_{1,1\ldots1}$	$S'_{1,1\ldots1}$

Moore: o ist $f(S)$, nächster Zustand $S' = f(i, S)$
Mealy: o ist $f(i, S)$, nächster Zustand $S' = f(i, S)$